

高产洛伐他汀红曲霉复合诱变育种

游玟娟¹,温拥军¹,李援²

(1.湖南化工职业技术学院,湖南株洲 412004;

2.中南大学化学化工学院,湖南长沙 410083)

摘要:为了提高洛伐他汀的产量,对红曲霉进行了紫外线与硫酸二乙酯复合诱变处理,并利用粗糙脉孢菌对洛伐他汀的敏感性进行初筛,再通过HPLC法测定其发酵液中洛伐他汀的产量进行复筛。最终得到一株稳定高产的目的菌株,命名为*Monascus sp.*UV-D-9。其洛伐他汀产量达到(0.289 ± 0.02)mg/mL,相对于出发菌株提高了82.9%。*Monascus sp.*UV-D-9是一株优良的洛伐他汀生产菌株,有一定的应用价值。

关键词:洛伐他汀,红曲霉,复合诱变,紫外线,硫酸二乙酯

Screening of high lovastatin producing strains with compound mutagenesis by UV and DES

YOU Wen-juan¹, WEN Yong-jun¹, LI Yuan²

(1.Hunan Chemical Industry Vocational Technology Institute, Zhuzhou 412004, China;

2.College of Chemistry and Chemical Engineering, Central South University, Changsha 410083, China)

Abstract:In order to improve lovastatin yield of *Monascus sp.*3.00567, the starting strains were mutagenized by UV and DES, which were primarily screencued based on the sensitivity to lovastatin of *Neurospora crassa*. The secondary screening was made through determinated lovastatin yield of fermentation liquid by HPLC. A high and stable yield mutant was obtained and named *Monascus sp.*UV-D-9. The lovastatin yield of *Monascus sp.*UV-D-9 was (0.289 ± 0.02)mg/mL, which increased 82.9% compared with the original strain. *Monascus sp.*UV-D-9 had certain value as an excellent lovastatin producing strain.

Key words:lovastatin; *Monascus sp.*; compound mutagenesis; UV; DES

中图分类号:TS261.1

文献标识码:A

文章编号:1002-0306(2014)22-0213-04

doi:10.13386/j.issn1002-0306.2014.22.038

洛伐他汀(lovastatin)是目前临幊上应用广泛的一类重要的降血脂、降胆固醇药物。它通过选择性抑制体内羟甲戊二酰辅酶A(HMG-CoA)还原酶的活性,减少内源性胆固醇的合成,对动脉粥样硬化和冠心病等疾病起到积极的防治作用^[1-3]。随着人们生活水平不断提高和饮食结构的改变,近年来我国高血脂、动脉粥样硬化、高血压、冠心病等“富贵病”发病率逐年提高,对洛伐他汀等他汀类药物的市场需求日益增大,激起了广大研究人员的兴趣^[4-6]。微生物发酵法生产洛伐他汀工业中,优良的生产菌株是获得高产的前提。李滔滔等^[7]利用氯化锂对红曲霉HW进行诱变,筛选得到6株正突变菌株中,洛伐他汀产量最高达到38.86mg/L;蔡晶晶等^[8]用亚硝基胍诱变土曲霉,获得一株诱变株,使洛伐他汀产量提高了66%以上。李桂杭等^[9]采用原生质体融合技术选育洛伐他汀高产菌株,获得的融合子洛伐他汀产量是出发菌株的2倍以上。本实验通过紫外线(UV)与硫酸二乙

酯(DES)复合诱变处理红曲霉,充分利用不同诱变剂间的协同效应,进一步提高洛伐他汀产量,为功能性红曲霉的进一步应用研究提供理论依据。

1 材料与方法

1.1 材料与仪器

红曲霉(*Monascus sp.*3.00567)、粗糙脉孢菌(*Neurospora crassa* 3.01604) 购于中国微生物菌种保藏中心,由本院生物制药国家重点实训基地保藏;PDA培养基 马铃薯(去皮)20%,葡萄糖:2%,琼脂:2%;发酵培养基 PD培养基 马铃薯(去皮)20%,葡萄糖:2%;柠檬酸三钠、硫酸二乙酯 国药集团化学试剂有限公司,分析纯;硫代硫酸钠、乙酸乙酯 天津市恒兴化学试剂制造有限公司,分析纯;甲醇 天津科密欧试剂有限公司,色谱纯;洛伐他汀标准品 上海永叶生物科技有限公司, HPLC≥98%。

超净工作台CBV-1500A 上海瑞仰净化装备有限公司;生化培养箱 HPS-250 哈尔滨东明医疗仪器厂;恒温培养摇床 QYC.2102 上海福玛实验设备有限公司;磁力搅拌器HJ-1 江苏省金坛市医疗仪器厂;高效液相色谱仪 配有可变波长紫外检测器和Chromelone色谱工作站,美国DIONEX公司。

收稿日期:2014-02-12

作者简介:游玟娟(1981-),女,本科,讲师,研究方向:微生物育种技术。

基金项目:湖南化工职业技术学院课题(HNHY2013002)。

1.2 实验方法

1.2.1 UV诱变 取红曲霉孢子2环接种于装有无菌玻璃珠的250mL摇瓶(内装100mL无菌水),然后置于32℃、200r/min的摇床上振荡30min,配成孢子悬液。在超净工作台上吸取5mL红曲霉孢子悬液移入7个无菌培养皿中,置于距30W紫外灯30cm处的磁力搅拌器上,分别照射0(空白对照用)、30、60、90、120、150、180s。在暗光条件下,分别取经紫外线诱变的孢子悬液0.1mL涂布于固体平板培养基上,每个诱变时间点的孢子悬液均涂3个平板做平行实验,然后倒置于32℃恒温培养箱中避光培养3d,计算致死率,以确定最佳诱变时间。

致死率(%)=(对照组平板菌落数-处理后平板菌落数)/对照组平板菌落数×100。

取实验确定的最佳紫外诱变时间处理后平板上分离得到的单菌落,采用管碟法^[10]在粗糙脉孢菌孢子液的PDA培养基平板上进行抑菌实验,测量抑菌圈直径,对突变株进行初筛。将初筛选出来的诱变效果好的突变株接种至摇瓶中,置于转速为200r/min,温度为32℃的摇床上培养7d,发酵液经乙酸乙酯萃取并过滤,用高效液相色谱法(HPLC)测定洛伐他汀产量,确定UV诱变的目的菌株。以未经诱变处理的出发菌株做对照实验,比较诱变效果。

1.2.2 DES诱变 以UV诱变所得的洛伐他汀产量最高的菌株作为出发菌株,配成孢子悬液6份(每份5mL),分别加入0(空白对照用)、1%、2%、3%、4%、5%(v/v)的DES溶液5mL振荡处理10min,立即加入10mL的25%硫代硫酸钠中止反应。适当稀释后取0.1mL涂布于固体平板培养基上(各浓度均做3次平行实验),于32℃下培养3d,并计算致死率。DES诱变菌株初筛和复筛方法同1.2.1。

1.2.3 目的菌株的遗传稳定性 将筛选到的目的菌株进行斜面传代实验,连续传种5代,同时将每代菌株进行平板培养,观察菌落形态,并通过摇瓶发酵测定洛伐他汀的产量,考察菌株的遗传稳定性能。

1.2.4 洛伐他汀产量测定 采用HPLC法,测定条件为^[11]:色谱柱:XDB C₁₈柱;检测波长237nm,流动相:甲醇:水(体积比为70:30),柱温26℃,体积流量1.0mL/min,进样量20μL。

2 结果与分析

2.1 UV诱变致死曲线

UV诱变致死曲线如图1所示。从图1可知,红曲

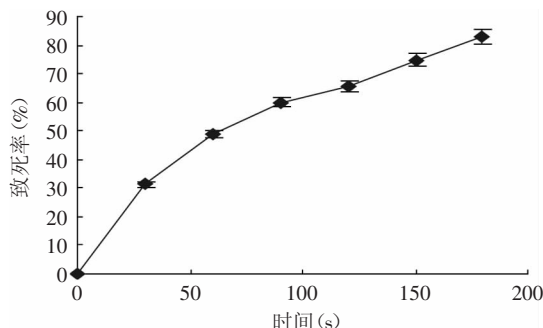


图1 UV诱变致死曲线

Fig.1 Death curve of UV mutagenesis

霉出发菌株对UV较敏感,随UV照射时间增加,致死率也升高。当UV照射时间为从30s增加至150s时,致死率31.4%上升至74.8%。一般认为,当致死率为70%~80%时得到的突变株能满足筛选的需要^[12]。故UV诱变时间宜选150s。

2.2 DES诱变致死曲线

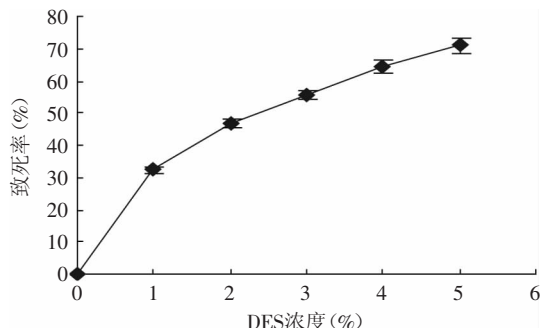


图2 DES诱变致死曲线

Fig.2 Death curve of DES mutagenesis

对UV诱变所得到的正突变株UV-12进行DES诱变处理,得到致死曲线如图2所示。由图2可知,UV-12的致死率与DES剂量呈正相关。在考察范围内,致死率随DES浓度增加而升高,当DES浓度5%时,致死率为70.9%。因此,DES诱变浓度应选5%较为合适。

2.3 UV诱变结果

对UV诱变处理后分离得到的单菌落进行抑菌实验,初筛得到抑菌圈直径D较出发菌株(D=1.53cm)大的突变株12株,然后将该12株突变株于32℃下进行摇瓶发酵7d,测洛伐他汀的产量。所得结果见表1。

由表1可知,12株对粗糙脉孢菌抑菌圈直径D≥

表1 UV诱变后菌株的抑菌圈直径与洛伐他汀产量

Table 1 The antibacterial circle diameter and lovastatin yield after UV mutagenesis

菌株名称	抑菌圈直径D(cm)	洛伐他汀产量(mg/mL)	菌株名称	抑菌圈直径D(cm)	洛伐他汀产量(mg/mL)
UV-1	1.55	0.133±0.01	UV-8	2.12	0.204±0.02
UV-2	1.58	0.132±0.01	UV-9	2.14	0.135±0.04
UV-3	1.69	0.136±0.03	UV-10	2.25	0.231±0.03
UV-4	1.73	0.138±0.02	UV-11	2.44	0.230±0.02
UV-5	1.73	0.186±0.04	UV-12	2.58	0.249±0.03
UV-6	1.88	0.192±0.02	出发菌株(CK)	1.53	0.158±0.02
UV-7	1.95	0.246±0.04			

1.55cm的红曲霉突变株中,少部分菌株发生了负突变,如:UV-1、UV-3等,大部分菌株发生正突变,如:UV-7、UV-11、UV-12等。从抑菌圈与洛伐他汀产量关系来看,两者存在一定的正相关,即抑菌圈大的菌株一般洛伐他汀产量也高,但也存在例外情况,UV-9菌株抑菌圈直径为2.14cm,但洛伐他汀产量仅为 (0.135 ± 0.04) mg/mL($n=3$)。原因是除洛伐他汀外,微生物生长过程中产生的有机酸等物质也可能产生抑圈效果,同时测量抑菌圈和测定洛伐他汀产量时培养方式也有差异^[13-14],因此抑菌圈只能够作为初筛指标,必须通过摇瓶发酵复筛才能准确判断菌株性能。在12株突变株中,UV-7、UV-12菌株洛伐他汀产量分别为 (0.246 ± 0.04) 、 (0.249 ± 0.03) mg/mL($n=3$),较出发菌株(CK)分别提高了55.6%、57.6%,因此以此两菌株为DES诱变的出发菌株。

2.4 DES诱变结果

对UV-7、UV-12进行DES诱变,初筛得到效果较好的突变株10株,通过摇瓶发酵后测洛伐他汀产量,得到结果见表2。

表2结果表明,在10株抑菌圈直径D ≥ 2.33 cm的突变株中,UV-D-9的洛伐他汀产量为 (0.289 ± 0.02) mg/mL($n=3$),较UV-7、UV-12提高了将近16%,说明UV与DES间存在着协同效应。其原因是二者的诱变机理和作用位点不相同,UV诱变位点主要是DNA中的胸腺嘧啶(T),能使形成TT二聚体,导致DNA复制过程中碱基发生错配^[12];而DES是一种烷化剂,通过与DNA中碱基发生化学反应,引起碱基结构发生变化,导致DNA复制过程中碱基配对的转换或颠换,从而引起突变^[13]。UV-D-9的洛伐他汀产量较原始菌株提高82.9%,说明采用UV与DES复合诱变是提高红曲霉洛伐他汀产量的一种有效方法。

2.5 UV-D-9菌株的遗传稳定性

表2 DES诱变后菌株的抑菌圈直径与洛伐他汀产量

Table 2 The antibacterial circle diameter and lovastatin yield after DES mutagenesis

菌株名称	抑菌圈直径D(cm)	洛伐他汀产量(mg/mL)	菌株名称	抑菌圈直径D(cm)	洛伐他汀产量(mg/mL)
UV-7	1.95	0.246 ± 0.03	UV-D-5	2.56	0.234 ± 0.01
UV-12	2.58	0.249 ± 0.02	UV-D-6	2.59	0.202 ± 0.04
UV-D-1	2.33	0.238 ± 0.04	UV-D-7	2.62	0.274 ± 0.03
UV-D-2	2.39	0.253 ± 0.04	UV-D-8	2.68	0.283 ± 0.01
UV-D-3	2.44	0.259 ± 0.02	UV-D-9	2.69	0.289 ± 0.02
UV-D-4	2.48	0.252 ± 0.01	UV-D-10	2.75	0.270 ± 0.02

表3 UV-D-9遗传稳定性与菌落形态

Table 3 The genetic stability and colony morphologies of UV-D-9

传代次数	菌落特征(培养4d)			洛伐他汀产量(mg/mL)
	直径	颜色	形态	
1	12.5	红色	绒毛状菌丝浓密,表面无皱褶	0.295 ± 0.04
2	11.7	浅红色,边缘部分黄色	绒毛状菌丝较稀疏,表面少量皱褶	0.281 ± 0.03
3	12.0	红色	大量绒毛状菌丝,表面少量皱褶	0.285 ± 0.01
4	12.6	浅红色	大量绒毛状菌丝,表面少量皱褶	0.288 ± 0.03
5	13.8	中心呈深红色	大量绒毛状菌丝,无皱褶向四周渐浅	0.293 ± 0.02

(下转第225页)

- complex and *in vitro* anticancer activity[J]. *Colloids and Surfaces B: Biointerfaces*, 2014, 115: 22–28.
- [2] Mohanty R K, Thennarasu S, Mandal A B. Resveratrol stabilized gold nanoparticles enable surface loading of doxorubicin and anticancer activity[J]. *Colloids and Surfaces B: Biointerfaces*, 2014, 114: 138–143.
- [3] Chan M M. Antimicrobial effect of resveratrol on dermatophytes and bacterial pathogens of the skin[J]. *Biochemical Pharmacology*, 2002, 63(2): 99–104.
- [4] Kasiotis K M, Pratsinis H, Kletsas D, et al. Resveratrol and related stilbenes: Their anti-aging and anti-angiogenic properties [J]. *Food and Chemical Toxicology*, 2013, 61: 112–120.
- [5] Pace-Asciak C R, Hahn S, Diamandis E P, et al. The red wine phenolics trans-resveratrol and quercetin block human platelet aggregation and eicosanoid synthesis: Implications for protection against coronary heart disease[J]. *Clinica Chimica Acta*, 1995, 235(2): 207–219.
- [6] Wang B, Sun J, Li X, et al. Resveratrol prevents suppression of regulatory T-cell production, oxidative stress, and inflammation of mice prone or resistant to high-fat diet-induced obesity[J]. *Nutrition Research*, 2013, 33(11): 971–981.
- [7] Clouser C L, Chauhan J, Bess M A, et al. Anti-HIV-1 activity of resveratrol derivatives and synergistic inhibition of HIV-1 by the combination of resveratrol and decitabine[J]. *Bioorganic & Medicinal Chemistry Letters*, 2012, 22(21): 6642–6646.
- [8] Frombaum M, Le Clanche S, Bonnefont-Rousselot D, et al. Antioxidant effects of resveratrol and other stilbene derivatives on oxidative stress and NO bioavailability: Potential benefits to cardiovascular diseases[J]. *Biochimie*, 2012, 94(2): 269–276.
- [9] Dolinsky V W, Dyck J R B. Calorie restriction and resveratrol in cardiovascular health and disease[J]. *Biochimica et Biophysica Acta (BBA)–Molecular Basis of Disease*, 2011, 1812(11): 1477–1489.
- [10] Lee Y, Park I, Lee Y, et al. Resveratrol contributes to chemosensitivity of malignant mesothelioma cells with activation of p53[J]. *Food and Chemical Toxicology*, 2014, 63: 153–160.
- [11] Kim T H, Shin Y J, Won A J, et al. Resveratrol enhances chemosensitivity of doxorubicin in multidrug-resistant human breast cancer cells via increased cellular influx of doxorubicin[J]. *Biochimica et Biophysica Acta (BBA)–General Subjects*, 2014, 1840(1): 615–625.
- [12] Casas L, Mantell C, Rodríguez M, et al. Extraction of resveratrol from the pomace of Palomino fino grapes by supercritical carbon dioxide [J]. *Journal of Food Engineering*, 2010, 96(2): 304–308.
- [13] González-Barrio R, Vidal-Guevara M L, Tomás-Barberán F A, et al. Preparation of a resveratrol-enriched grape juice based on ultraviolet C-treated berries[J]. *Innovative Food Science & Emerging Technologies*, 2009, 10(3): 374–382.
- [14] Hasan M M, Yun H, Kwak E, et al. Preparation of resveratrol-enriched grape juice from ultrasonication treated grape fruits[J]. *Ultrasound Sonochemistry*, 2014, 21(2): 729–734.
- [15] Li B, Wang C, Chen X, et al. Highly specific separation for antitumor Spiroperone A from endophytic fungal [*Preussia sp.*] fermentation broth by one-step macroporous resins AB-8 treatment [J]. *Journal of Chromatography B*, 2013, 938: 1–7.
- [16] Xiong Q, Zhang Q, Zhang D, et al. Preliminary separation and purification of resveratrol from extract of peanut (*Arachis hypogaea*) sprouts by macroporous adsorption resins[J]. *Food Chemistry*, 2014, 145: 1–7.
- [17] Yang J, Zhang L, Zhu G, et al. Separation and enrichment of major quinolizidine type alkaloids from *Sophora alopecuroides* using macroporous resins[J]. *Journal of Chromatography B*, 2014, 945–946: 17–22.
- [18] Zhao Z, Zhang J, Chen X, et al. Separation of tungsten and molybdenum using macroporous resin: Equilibrium adsorption for single and binary systems[J]. *Hydrometallurgy*, 2013, 140: 120–127.
- [19] 钱时权, 石亚中, 伍亚华, 等. 纤维素酶-超声波辅助有机溶剂提取山葡萄渣中白藜芦醇的研究[J]. 食品工业科技, 2012, 33(3): 210–213.
- [20] 李春美, 钟朝辉, 窦宏亮, 等. 大孔树脂分离纯化柚皮黄酮的研究[J]. 农业工程学报, 2006, 22(3): 153–157.
- [21] 孟宪军, 李颖畅, 宣景宏, 等. AB-8大孔树脂对蓝莓花色苷的动态吸附与解吸特性研究[J]. 食品工业科技, 2007, 28(12): 94–96.
- [22] 张素华, 王正云. 大孔树脂纯化芦笋黄酮工艺的研究[J]. 食品科学, 2006, 27(2): 182–186.

(上接第215页)

- 研究[J]. 中国酿造, 2011(4): 58–61.
- [5] 刘守强, 张宏周, 牛金刚, 等. 洛伐他汀高产菌株的筛选[J]. 发酵科技通讯, 2011, 40(4): 33–34.
- [6] 李亚莉, 黑利生, 秘鸣, 等. 1株紫色红曲菌(MPT13)产洛伐他汀发酵条件的优化[J]. 食品工业, 2013, 34(8): 70–72.
- [7] 李滔滔, 李小龙, 张凤琴. 高产洛伐他汀红曲菌株的诱变选育[J]. 食品工业科技, 2012, 33(24): 246–248.
- [8] 蔡晶晶, 李季伦. 土曲霉(*Aspergillus terreus*)产生洛伐他汀(lovastatin)的研究[J]. 微生物学杂志, 2000, 20(4): 1–4.
- [9] 李桂杭, 朱碧云, 李浩明. 土曲霉与红曲霉双灭活原生质体融合选育洛伐他汀高产菌株[J]. 食品与生物技术学报, 2012, 31(2): 183–188.
- [10] 吕燕妮, 李平兰, 江志杰. 乳酸菌31-1菌株产细菌素的初步研究[J]. 中国食品学报, 2003(增刊): 130–133.
- [11] 张凤琴, 李小龙, 刘飞, 等. HPLC法检测红曲霉菌HNLI发酵液中洛伐他汀含量[J]. 湖南工业大学学报, 2009, 23(5): 26–28.
- [12] 周德庆. 微生物学教程[M]. 北京: 高等教育出版社, 2002: 212–217.
- [13] 张克旭, 陈宁, 张蓓, 等. 代谢控制发酵[M]. 北京: 中国轻工业出版社, 2004: 56–57.
- [14] 吕燕妮. 戊糖乳杆菌3-菌株产细菌素研究[D]. 北京: 中国农业大学, 2004.
- [15] 朱雷, 常慧萍, 韦兵, 等. 红曲色素合成机理的初步探讨[J]. 食品科学, 2007, 28(3): 77–79.
- [16] 江利香, 葛峰, 刘畅. 红曲洛伐他汀的高产策略[J]. 中草药, 2011, 42(7): 1446–1452.